

文章编号: 1000-7032(2008)05-0815-06

噻吩基联苯乙烯蓝色发光材料的合成与发光性能

柴生勇¹, 别国军¹, 徐新军², 刘波¹, 刘琼妮¹, 于贵², 刘云圻²

(1 西安近代化学研究所, 陕西 西安 710065 2 中国科学院 化学研究所, 北京 100080)

摘要: 设计并合成了新型含噻吩基团的联苯乙烯类蓝色有机电致发光材料 4,4'-双(2-苯基-2-(2-噻吩)乙烯基)-1,1'联苯(TPVB i), 通过红外、核磁共振、元素分析对其结构进行了表征。利用紫外可见吸收光谱、荧光光谱和循环伏安法等研究了其 HOMO、LUMO 能级及发光性能。TPVB i 溶液的荧光发射峰值波长为 451 nm, 薄膜的荧光光谱最大发射波长为 464 nm。循环伏安测得其氧化峰电位为 1.227 V。TPVB i 的 HOMO 能级为 -5.55 eV, LUMO 能级为 -2.67 eV。以 TPVB i 作为发光层制作了结构为 ITO/CuPc(10 nm)/NPB(30 nm)/TPVB i(35 nm)/TPB i(35 nm)/Al(100 nm) 的有机发光二极管器件, 并研究了该器件的电致发光性能。该器件在电压为 19.5 V 时, 达到最大亮度 1 782.3 cd/m², 在电流密度为 15.69 mA/cm² 时, 最大电流效率为 1.73 cd/A; 器件的发光 CIE 色坐标为 x=0.25, y=0.40。

关 键 词: 噻吩基联苯乙烯; 蓝光材料; 有机电致发光

中图分类号: O482.31; TN873.3

PACC: 7860F

文献标识码: A

1 引言

有机电致发光(OEL)技术被认为是最有前景的新一代显示技术。自从 1987 年柯达公司第一次开发双层结构器件^[1]以来, 高效稳定的新材料一直是研究的重点。蓝光材料是彩色显示中的关键材料, 其开发及专利保护更是热点^[2~5]。见于报道的蓝光材料包括芳烃类蓝光材料、芳胺类蓝光材料^[6]、有机硼类蓝光材料^[7]、有机硅类蓝光材料^[8]等。芳烃类包括了双烯基芳烃类(Distyrylarylene)蓝光材料^[9]、花类蓝光材料^[10]、芴类蓝光材料^[11]、蒽类蓝光材料^[12]等。很多的主体发光分子结构在文献中公开, 但绝大多数材料的分子结构仍然处于公司商业机密中, 材料的确切化学结构始终是保密的^[13]。

蓝光 OLED 发展至今, 日本 Idemitsu 公司的蓝光材料是目前被公认最好的^[9], 在器件稳定性、光色纯度和发光效率等方面均有上乘的性能, 其最主要的蓝光材料系以双烯基芳烃蓝光材料(DSA)系列的相关衍生物为主。在这一系列材料中不含五

元杂环结构, 如噻吩、呋喃等。本文将噻吩基团引入双烯基芳烃结构以期得到新的发光材料, 报道了噻吩基联苯乙烯蓝光材料的合成、光致发光性能、电化学性能以及在发光器件中的电致发光性能。

2 实验

2.1 试剂与仪器

四氢呋喃, 分析纯, 蒸馏后用钠丝干燥保存; 多聚甲醛, 分析纯, 成都联合化工试剂研究所; 氯化锌, 分析纯, 天津双船化学试剂厂; 亚磷酸三乙酯, 化学纯, 上海凌峰化学试剂有限公司; 80% 油性分散氢化钠, 天津市北星新技术开发公司; 噻吩, 分析纯, 成都科龙化工试剂厂; 联苯、无水三氯化铝、苯甲酰氯等均为商品分析纯试剂。

美国 Nicolet 公司 6SXR-FTIR 型红外光谱仪, 溴化钾压片; 德国 ELEMENTAR 公司 Vario EL III 型有机元素分析仪; 美国 Bruker AV 500 核磁共振仪; Hitachi F-4500 分光光度计; 江苏江分厂 MCP-1 型恒电位仪; 上海 UNICO UV-2102PCS 型紫外可见分光光度计。

收稿日期: 2007-12-29 修订日期: 2008-01-31

基金项目: 陕西省科技计划资助项目(2004K07-G5)

作者简介: 柴生勇(1965-), 男, 甘肃宁县人, 研究员, 主要从事有机电致发光材料的研究。

E-mail: csy2048@puh.xaonline.com, Tel: (029) 88291840

2.2 合成

2.2.1 2-噻吩苯甲酮的制备

在装有搅拌、冷凝管、滴液漏斗和温度计的 250 mL 四口瓶中, 加入 120 mL CS₂ 和 45 g AlCl₃, 搅拌溶解, 冰浴冷却至 10~15 °C。将 22 mL 噻吩和 35 mL 苯甲酰氯溶于 50 mL CS₂ 中配制的溶液经滴液漏斗缓慢滴入反应瓶, 滴加温度保持在 15~25 °C 之间, 滴加约 3.5 h。滴完后自然升至室温, 搅拌 3 h 放置过夜后, 加热回流 3.5 h, 冷却。将反应物倾入冰水中, 用 30 mL 乙酸乙酯提取三次。有机相合并, 用水在分液漏斗中洗涤至中性, MgSO₄ 干燥。蒸去溶剂, 冷冻, 得深棕色固体。用石油醚重结晶。得白色固体 46.7 g, mp 60~61 °C (文献 [14] 值 56.5 °C)。得率 89.2%。

2.2.2 4,4'-二氯甲基联苯的制备

在装有搅拌、冷凝管、恒压漏斗和温度计的 250 mL 四口瓶中加入 7.7 g 联苯、6 g 多聚甲醛、8.3 g 氯化锌、60 mL 环己烷、5 mL HAc 和 5 mL 水, 搅拌升温。48 °C 时, 开始缓慢滴加氯化亚砜, 溶液从无色透明逐渐变为混浊, 最后有大量固体生成, TLC 跟踪反应结束, 用时约 13 h。约滴入氯化亚砜 20 mL。停止搅拌, 自然冷却, 过滤。滤饼用水洗涤至中性, 再用甲醇洗涤, 得白色固体。乙醇重结晶得产品 7.9 g, 得率 63.2%, 含量 99% (HPLC); mp 140~141 °C (文献 [15] 值: 136~138 °C)。

2.2.3 1,1'-联苯-4,4'-双(亚甲基磷酸二乙酯)的制备

在装有搅拌、冷凝管和温度计的 100 mL 三口瓶中加入 34 mL P(OEt)₃ 和 5 g 4,4'-二氯甲基联苯, 通 N₂ 保护, 在 150 °C 反应 4~5 h, 停止加热, 搅拌降温。当温度降到 70 °C 时, 加入 50 mL 石油醚 (60~90 °C), 析出固体, 过滤, 得到白色固体产品 8.5 g, 得率 93.6%, 含量 97% (HPLC), mp 106~108 °C。

2.2.4 TPVB 的合成

在装有搅拌、冷凝管、滴液漏斗和温度计的 500 mL 四口瓶中加入 150 mL THF, 24.1 g (0.053 mol) 1,1'-联苯-4,4'-双(亚甲基磷酸二乙酯) 和 80% 含石蜡 NaH 7 g (0.3 mol), 搅拌 20 min 后经滴液漏斗滴入 21.8 g (0.116 mol) 2-噻吩苯甲酮和 20 mL THF。加热回流反应, TLC 跟踪反应结束。停止反应, 冷却, 搅拌下倒入含有盐酸的冰水

中, 析出固体。过滤, 水洗得 25.2 g 粗品。用 1:1 的正己烷和甲苯溶剂重结晶后得到淡红色粉末产品 21 g, 得率 75.78%, 含量 98%, mp 182~184 °C。

FTIR (KBr): 3099, 3060, 3025 (Ar—C—H); 1593 (C=C); 1493, 1442, 1426, 1403 (Ar); 1242, 1074, 1028 (C=S); 893, 847, 829, 815, 765, 697 (Ar C—H)。

元素分析理论值: C, 82.72%; H, 5.01%; S, 12.27%。实测值: C, 82.62%; H, 5.01%。

¹H NMR (500 MHz, CDCl₃): δ 7.446 (d, 2H, J=7.5 Hz, 噻吩), δ 7.402~7.420 (m, 4H, 联苯), δ 7.320~7.364 (m, 4H, 联苯), δ 7.232 (d, 4H, J=6.5 Hz, 苯), δ 7.21 (t, 4H, J₁=8.5 Hz, J₂=6.5 Hz, 苯), δ 7.016 (d, 2H, J=8.5 Hz, 苯), δ 7.696~6.950 (m, 2H, 噻吩), δ 7.07 (s, 2H, 烯氢), δ 7.74 (t, 2H, J=7.5 Hz, 噻吩)。

¹³C NMR (125 MHz, CDCl₃): δ 147.9, 143.1, 141.6, 139.4, 136.3, 135.6, 129.8, 128.8, 127.9, 127.5, 126.2, 125.8。

2.3 OLED 器件制备

将刻蚀好的 ITO 玻璃依次用洗涤剂、去离子水、丙酮及无水乙醇等通过超声波清洗。将烘干的 ITO 基片置于真空镀膜机中, 在真空中度达到 3×10^{-4} Pa 时, 以 0.1 nm/s 的速率依次蒸镀有机材料。最后更换掩膜板, 以 0.5 nm/s 的速率蒸镀铝阴极。有机层及阴极层的厚度通过靠近 ITO 基片的石英晶振片监测, 并通过 Ambios XP-2 台阶仪进行校正。所制得的器件的发光面积为 4.8 mm²。

器件的电致发光亮度 (L)、电流、电压等在由计算机控制的光功率计 (Newport 2835-C)、半导体参数测试仪 (HP 4140B) 所组成的 V-I-B 测试系统中测定。测定时, 电源正极接 ITO、负极接金属阴极, 测得的光功率值经过转换可得到发光亮度值。电致发光光谱图以及色坐标使用 Photo Research PR650 光谱光度/色度计测定。

3 结果与讨论

3.1 化合物的合成及结构

TPVB 按如图 1 所示路线由噻吩苯甲酮和联苯双(亚甲基磷酸二乙酯) 经 Wittig-Homer 反应合成。

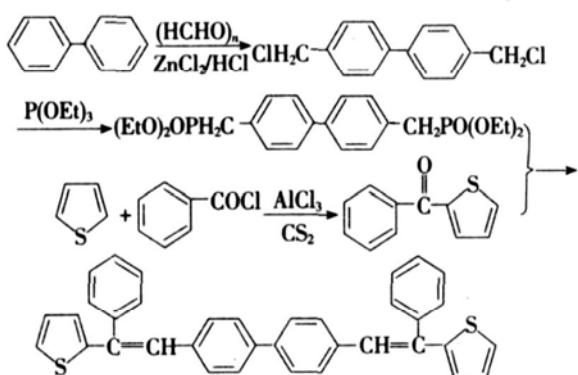


图 1 TPVB i 的合成路线

Fig. 1 Synthetic route of the TPVB i

3.2 电子性能

TPVB i 在二氯甲烷的稀溶液中的紫外可见吸收光谱如图 2 所示。

芳香族化合物均含环状共轭体系, 有共轭的 $\pi-\pi^*$ 跃迁, 一般有三个吸收带 E_1 、 E_2 、B 带。含不饱和杂原子的化合物既有 π 电子, 又有 σ 电子和 n 电子, 但仅 $n-\pi^*$ 跃迁的吸收带在近紫外区。由 $n-\pi^*$ 跃迁产生的吸收带被称为 R 带。TPVB i 在溶液中的吸收谱图中, 有吸收强度较大的 E_1 、 E_2 带和吸收强度较小的 B 带, R 带吸收强度弱, 被 B 带掩盖, E_1 、 E_2 和 B 带的吸收峰值分别为 232、262、365 nm。同结构相似的蓝光材料 DPVB i 的吸收光谱比较^[16], TPVB i 的 E_1 、 E_2 带, 在 DPVB i 中消失, 只有一个吸收峰 351 nm。这可能与当用苯置换 TPVB i 分子中的噻吩后, DPVB i 的分子刚性变化而导致激发态 S_1 、 S_2 、 S_3 的能级发生改变有关。

TPVB i 在二氯甲烷稀溶液中的吸收峰波长为 365 nm。从吸收光谱的起始位置 430 nm 可以算出该分子 HOMO 能级与 LUMO 能级间的能量差

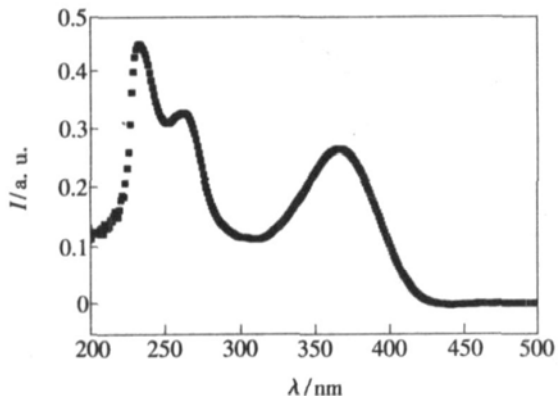


图 2 TPVB i 在二氯甲烷中的紫外可见吸收光谱图
Fig. 2 UV-VIS absorption spectrum of TPVB i in CH_2Cl_2 .

$$E_g = 1240/\lambda = 2.88 \text{ eV}.$$

循环伏安法可以较为精确地测定有机小分子的 HOMO 和 LUMO 能级^[17, 18], 所以用循环伏安法可以实现电极材料、发光材料和载流子传输材料之间的能带匹配, 提供理论依据。对 TPVB i 可以得到 HOMO 能, 结合吸收光谱所得能隙差, 又可计算出 LUMO 能。

将 TPVB i 溶于 1:1 的 $\text{CH}_2\text{Cl}_2:\text{CH}_3\text{CN}$ 的混合溶剂, 配成 5×10^{-4} mol/L 溶液, 以 0.1 mol/L 四丁基高氯酸铵作为支持电解质, 在恒电位仪上测定循环伏安图。扫描速度为 30 mV/s。恒电位仪的工作电极为 Pt 片, 辅助电极为 Pt 丝 ($\phi 0.8 \text{ mm}$), 参比电极为 Ag/AgCl 电极。采用二茂铁(真空离解能 4.8 eV)为外标物校正氧化电位值。

在 TPVB i 的 CV 图谱中, 其氧化支曲线氧化峰峰值电位 P_{ox} 为 1.23 V, 起始电位 E_{onset} 为 1.07 V。HOMO 能级对应于图谱的氧化支曲线氧化峰起始电位, 以二茂铁(真空电离能 -4.8 eV)作外标计算。二茂铁氧化峰的氧化峰起始电位 E_{onset} 为 0.35 V, 校正银参比电极真空能级为 -4.45 eV, 由 $E_{\text{HOMO}} = -E_{\text{onset}} + E_{\text{Ag/AgCl}}$ 计算得 TPVB i 的 E_{HOMO} 为 -5.55 eV。

由紫外可见吸收光谱所得的 HOMO 与 LUMO 能级差值 (E_g) 2.88 eV, 可得出其 LUMO 能级为 -2.67 eV。

3.3 荧光发光性能

测定的 TPVB i 在 CH_2Cl_2 溶液中的光致发光(PL)激发光谱和荧光发射光谱以及 TPVB i 的薄膜的荧光发射光谱如图 3 所示。

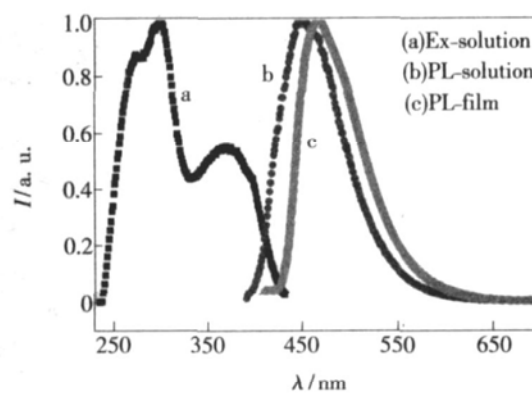


图 3 TPVB i 的荧光光谱 (a) 溶液中的激发光谱; (b) 溶液中的荧光发射光谱; (c) 薄膜的荧光发射光谱
Fig. 3 PL spectra of TPVB i (a) Excitation spectrum in solution (b) Emission spectrum in solution (c) Emission spectrum of film.

TPVB i溶液的荧光光谱峰值波长为 451 nm (激发光谱峰值波长 370 nm), 为典型的蓝色荧光。TPVB i薄膜的荧光光谱表明其最大发射波长在 464 nm。半峰宽为 50 nm, 说明其色纯度很好。

荧光光谱同激发光谱比较有红移, 这是由于分子由激发态衰减回到基态之前, 激发态分子通过振动弛豫首先衰减到最低激发态 S_1 能级, 激发态分子与 S_1 的能量差, 表现为荧光发射光谱比激发光谱红移, 用斯托克斯频移表示其红移量。TPVB i的激发与发射之间的斯托克斯频移 (Stokes Shift) = $(1/\lambda_{\text{max}}^{\text{ex}} - 1/\lambda_{\text{max}}^{\text{em}}) \times 10^7 = (1/370 \text{ nm} - 1/451 \text{ nm}) \times 10^7 \text{ nm/cm} = 4854 \text{ cm}^{-1}$ 。 $\lambda_{\text{max}}^{\text{ex}}$ 和 $\lambda_{\text{max}}^{\text{em}}$ 分别为激发光谱峰值波长和荧光光谱峰值波长。TPVB i的斯托克斯频移值较大, 说明其激发态能级与最低激发态 S_1 的能量差较大, 振动损失的能量大。薄膜态的光致发光 (PL) 图谱同溶液态的相比有 13 nm 的红移, 这是由于在薄膜态中分子紧密聚集后, 分子间作用力使 LUMO、HOMO 能级改变, 导致了发射光谱的变化。

3.4 电致发光性能

根据 TPVB i的 HOMO 和 LUMO 能级, 我们选择 CuPc 作为空穴缓冲层, NPB 为空穴传输层, TPB i为电子传输层和空穴阻挡层。它们的分子结构如图 4 所示。

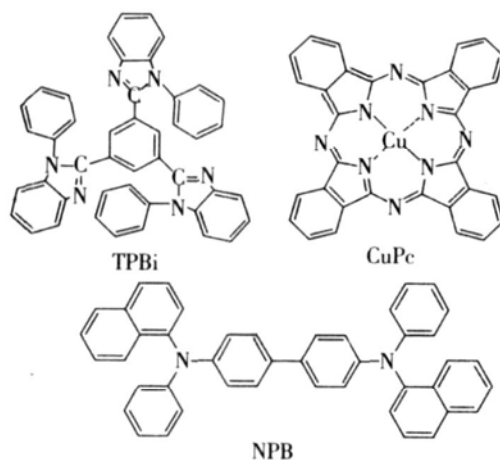


图 4 所用材料的分子结构

Fig. 4 Molecular structures of the used materials

器件结构: ITO /CuPc (10 nm) /NPB (30 nm) /TPVB i (35 nm) /TPB i (35 nm) /Al (100 nm)。器件的能级如图 5 所示。

NPB 的 HOMO 能级为 5.4 eV, 可以容易地将空穴传入发光层 TPVB i中, TPB i的 HOMO 能 (6.2) 较高, 可以阻挡空穴。NPB 的 LUMO 为 2.3 eV,

电子被阻挡, 使得电子和空穴在 TPVB i的复合几率变大, 从而提高器件的发光效率。

器件的电流密度-电压-亮度性能如图 6 所示。启亮电压为 7.6 V, 在电压为 19.5 V 时, 达到最大亮度 1782.3 cd/m²。

器件在 14~20 V 的电致发光谱见图 7。

不同电压下归一化的 EL 光谱基本上完全重合, 电压从 14 V 升高到 20 V, 器件的 EL 光谱没有发生变化, 峰值均为 492 nm, 表明在不同电压下, 电子和空穴的复合位置不变, 始终是 TPVB i的

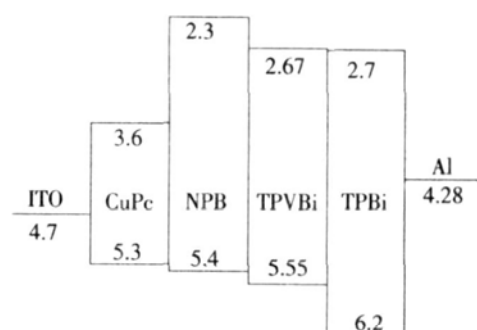


图 5 器件的能级图

Fig. 5 Energy level diagram of the device.

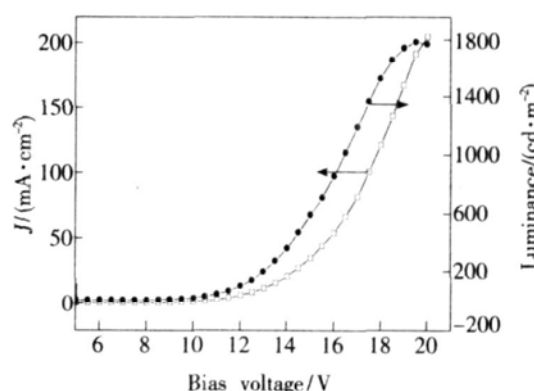


图 6 器件的 J-V-L 曲线

Fig. 6 J-V-L curves of the device.

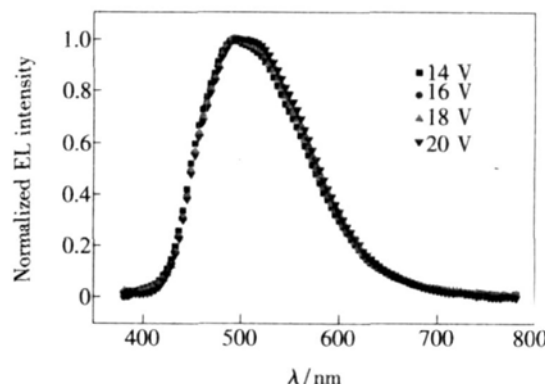


图 7 器件在不同电压下的电致发光谱

Fig. 7 EL spectra of the device in different voltage.

发光, 其色坐标为 CIE(0.25, 0.40), 也不随电压的变化而改变。与光致发光的光谱图 3 相比, 器件的发光光谱形状同薄膜的光致发光光谱, 但有 28 nm 的红移。导致这一现象的原因可能是由于 TPVB i 激发态有多重“亚稳态能级”, 在光子激发下, 激子处于高能级, 而在器件中, 在电流激发下, 激子处于低能级。

该器件在电流密度为 15.69 mA/cm² 时, 电流效率最大, 其值为 1.73 cd/A。

4 结 论

设计合成了含噻吩基团的联苯乙烯类蓝色有机电致发光材料 TPVB i, 用¹H NMR、FTIR、元素分析等方法对其结构进行了表征。紫外可见吸收光

谱最大吸收峰波长为 365 nm, 采用 370 nm 的紫外光激发溶液的荧光发射峰值波长为 451 nm; 薄膜的荧光光谱最大发射波长为 464 nm, 半峰宽为 50 nm。循环伏安测得其氧化峰电位为 1.227 V。TPVB i 的 HOMO 能级为 5.55 eV, LUMO 能级为 2.88 eV。以 TPVB i 作为发光层制备了结构为 ITO/CuPc(10 nm)/NPB(30 nm)/TPVB i(35 nm)/TPBi(35 nm)/Al(100 nm) 的有机发光二极管器件, 研究了器件的电致发光性能。该器件在电压为 19.5 V 时, 达到最大亮度 1782.3 cd/m², 该器件在电流密度为 15.69 mA/cm² 时, 发光效率为 1.73 cd/A。该器件发光颜色不随电压变化, 其电致发光光谱最大峰值在 492 nm, 色坐标 CIE 为 x=0.25, y=0.40。

参 考 文 献:

- [1] Tang C W, VanSlyke S A. Organic electroluminescent diodes [J]. *Appl Phys Lett*, 1987, **51**(12): 913-915.
- [2] Zheng Daishun, Qian Keyuan, Zhang Fujia. Synthesis and luminescence properties of blue organic light-emitting material LBq [J]. *Chin J Lumin* (发光学报), 2006, **27**(3): 367-372 (in Chinese).
- [3] Zhang Yuxiang, Liu Bao, Gao Renxiang, et al. Synthesis and properties of a blue organic electroluminescent material [J]. *Chin J Lumin* (发光学报), 2006, **27**(4): 557-560 (in Chinese).
- [4] LiQing Yu Junsheng, LiWeizhi, et al. Fabrication and characterization of the blue organic light-emitting diode based on N,N'-bis(1-naphthyl)-N,N'-biphenyl-1,1'-biphenyl-4,4'-diamine [J]. *Chin J Lumin* (发光学报), 2007, **28**(1): 184-188 (in Chinese).
- [5] Qu Baq, Chen Zhijian, Li Fushan, et al. Materials and devices in the field of polyfluorene derivatives organic electroluminescence [J]. *Chin J Lumin* (发光学报), 2007, **28**(5): 683-692 (in Chinese).
- [6] Chen C T, Chiang C L, Lin Y C. Ortho-substituent effect on fluorescence and electroluminescence of arylamino-substituted coumarin and stilbene [J]. *Org Lett*, 2003, **5**(8): 1261-1264.
- [7] Noda T, Shirota Y. 5,5'-bis(dimethylboryl)-2,2'-bithiophene and 5,5''-bis(dimethylboryl)-2,2':5',2''-terthiophene as a novel family of electron-transporting amorphous molecular materials [J]. *J Am Chem Soc*, 1998, **120**(37): 9714-9715.
- [8] Chen H Y, Lan W Y, Luo J D, et al. Highly efficient organic light-emitting diodes with a silole-based compound [J]. *Appl Phys Lett*, 2002, **81**(4): 574-576.
- [9] Hosokawa C, Higashihara, Nakamura H, et al. Highly efficient blue electroluminescence from a distyrylene emitting layer with a new dopant [J]. *Appl Phys Lett*, 1995, **67**(26): 3853-3855.
- [10] Yeh C C, Lee M T, Chen H H. High-performance blue OLEDs based on sterically hindered pyrene host material [C]. *Proc Soc Inf Display*, Seattle, WA, 2004, 788-792.
- [11] Saitoh A, Yamada N, Yashima M, et al. Novel fluorene-based blue emitters for high performance OLEDs [C]. *Proc Soc Inf Display*, Seattle, WA, 2004, 150-153.
- [12] Shi JM, Tang C W. Anthracene derivatives for stable blue-emitting organic electroluminescence devices [J]. *Appl Phys Lett*, 2002, **80**(17): 3201-3203.
- [13] Wen Shih-wen, Lee Meng-ting, Chen C H. Recent development of blue fluorescent OLED materials and devices [J]. *IEEE/OSA J Display Technol*, 2005, **1**(1): 90-99.
- [14] Wesley Mannis, Roger Adams, Cogan H D. Phenylthienylketone [J]. *Org Synth, Coll*, 1932, **2**: 520-1943, **12**: 62.

- [15] Fang Q i Zhu Chunyan Study on chloromethylation of biphenyl [J]. *Fine Spec. Chem.* (精细与专用化学品), 2005, **13**(10): 25-27 (in Chinese).
- [16] Zheng X Y, Zhang Z L, Xu S H, et al Synthesis and luminescent properties of distyrylarylene derivative blue emitting material TPVB i [J]. *Chin. J. Lum in.* (发光学报), 2003, **24**(3): 265-269 (in Chinese).
- [17] Eckhardt H, Shacklette L W, Jenk Y. The electronic and electrochemical properties of poly(phenylene vinylenes) and poly(thienylene vinylenes): An experimental and theoretical study [J]. *J. Chem. Phys.*, 1989, **91**(2): 1303-1315.
- [18] Ding B D, Zhang JM, Xu S H, et al Convenient electrochemical method to determine the energy level of organic electroluminescent materials [J]. *Chin. J. Lum in.* (发光学报), 2003, **24**(6): 606-611 (in Chinese).

Synthesis and Luminescence of a Blue-light-emitting Material of Thiophenyl Distyrylarylene

CHA I Sheng-yong¹, BIE Guo-jun¹, XU Xin-jun², LU Bo¹, LU Qiong-ni¹, YU Gui², LU Yun-qi²

(1 *Xian Modern Chemistry Research Institute, Xian 710065 China*;

2 *Institute of Chemistry, Chinese Academy of Sciences Beijing 100080 China*)

Abstract A novel blue-light-emitting material of thiophenyl distyrylarylene, 4,4'-bis(2-phenyl-2-(thiophen-2-yl)vinyl)-1'-biphenyl was designed and synthesized. Its structure was determined by IR, ¹H NMR and elementary analysis. Its HOMO, LUMO and luminescence characteristic was studied by UV-VIS absorption spectra, fluorescence spectra and cyclic voltammetry. The HOMO energy and LUMO energy of TPVB i is -5.55 eV and -2.67 eV, respectively. TPVB i emits its blue fluorescence with a peak wavelength at 451 nm in solution and with a peak wavelength at 464 nm in film. Organic light-emitting-diode with a structure of ITO/CuPc(10 nm)/NPB(30 nm)/TPVB i(35 nm)/TPB i(35 nm)/Al(100 nm) was prepared and electroluminescence properties were studied. The device exhibited a maximum luminescence of up to 1782.3 cd/m² at 19.5 V and a maximum efficiency of up to 1.73 cd/A at a current density of 15.69 mA/cm². The CIE chromaticity coordinates of the light emitted from the device are $x=0.25$, $y=0.40$.

Key words thiophenyl distyrylarylene; blue-light-emitting material; organic electroluminescence